

## Nesneye Yönelik Sistemler İçin Bir Uyum Ölçütü Önerisi: COMIAS

H.Özlem Ertemel<sup>1</sup>

Yunus Emre Selçuk<sup>2</sup>

Oya Kalıpsız<sup>3</sup>

<sup>1</sup>TUBITAK Marmara Research Center, IT Institute, 41470 Gebze, Kocaeli, Turkey

<sup>2,3</sup>Yıldız Technical University, Computer Eng. Dept., 34349 Beşiktaş, İstanbul, Turkey

<sup>1</sup>ozlem.ertemel@bte.mam.gov.tr

<sup>2</sup>yunus@ce.yildiz.edu.tr

<sup>3</sup>kalipsiz@yildiz.edu.tr

### Özetçe

Yazılım kalitesinin ölçümü, karşılaşılan zorluklara rağmen, yazılımın birçok yönden değerlendirilmesi ve iyileştirilmesine olanak tanınması nedeniyle önem arz etmektedir. Bu çalışmada nesneye yönelik yazılımların yaşam döngüsünün her aşamasında kullanılabilir bir uyum (cohesion) ölçütü olan COMIAS tanımlanmakta ve ilk deneysel geçerlemesine yer verilmektedir.

### 1. Giriş

Yazılım kalitesi kavramı, halen belirsiz ve farklı kişilere farklı anlamlar ifade eden bir kavramdır [1]. Geliştiricinin bakış açısıyla ya da içsel bakış açısı ile kalite, maliyet ve gecikmenin doğru tahminine, daha kolay teste, daha iyi bakıma giden yoldur [2]. Kullanıcı tarafından ya da dışsal bakış açısı ile bakıldığında ise kullanım kolaylığı, estetik, anlaşılabilirlik vb. kavramlar ifade edebilmektedir.

Ölçme eylemi, somut veya soyut bir varlığın sahip olduğu bir özelliğini, sayısal veya derecelendirilmiş bir veri olarak ifade etmektir. Ölçülecek özelliği ölçme yolu ve biçimine ölçüt, bir ölçüt kullanılarak yapılan ölçme eyleminin sonucunda elde edilen veriye ise ölçüm adı verilir. Ölçme eylemi işimize yarayacak, anlamlı sonuçlar elde etmek için yapılır. Amaç yazılımın kalitesini iyileştirmek olarak belirlendiği zaman, yazılımın kalitesi yazılım yaşam döngüsünün çeşitli aşamalarında ölçülmeli, elde edilen ölçümler karşılaştırılmalı ve değerlendirilmelidir.

Ölçme yapabilmek için önce bir veya birkaç ölçüt belirlenmelidir. Bu aşamada tanımlanması bile zor bir kavram olan yazılım kalitesi ile ilgili üzerinde anlaşmaya varılmış özellikler bulmanın zorluğu ile karşılaşılır. Yazılım yaşam döngüsünün erken aşamalarında ölçüme başlayabilmek için, içsel kalite özelliklerinin kullanılması gerekecektir. Bağlaşım (coupling) [3] ve uyum (cohesion) [4], bu amaçla kullanılan en temel özelliklerdir. Nesneye dayalı programlama (NYP) yaklaşımının doğru kullanımı ile oluşturulan yazılımlarda bağlaşımın düşük ve uyumun yüksek olması beklenir [5]. Literatürde bağlaşım ve uyum için birçok ölçüt bulunmaktadır ancak yazılım ile ilgili ölçütlerin deneysel açıdan doğrulanması kolay olmadığından bu yönde daha çok çalışma yapılmasına gerek vardır [6].

Ölçüm verilerini anlamlı bilgilere dönüştürmek için yapılması gereken yorumlama işlemi zor olabilir. Literatürde "intelligence barrier" [7] olarak geçen bu zorluk, "yorumlama engeli" olarak adlandırılabilir. Bu engel matematiksel ve istatistiksel yöntemlerle aşılmaya çalışılabilir [8], ancak bu yöntemlerin de kolay olduğu söylenemez.

Değinilen bütün zorluklara rağmen, yazılım geliştiricileri ve yöneticileri için yazılımın birçok yönden

değerlendirilmesine ve iyileştirilmesine olanak tanınmaları nedeniyle, yazılım ölçütleri üzerinde çalışmalar etkin olarak sürmektedir. Bağlaşım ve uyumun ölçülmesi için önerilen ölçüt modelleri incelendiğinde, bağlaşım ölçümü açısından belirli bir olgunluğa erişilmesine rağmen, uyum ölçümünde aynı düzeye ulaşılamadığı değerlendirilmiştir. Bu nedenle COMIAS (Cohesion Method Invocation Attribute Sharing – Uyum Metot Çağırımı Üye Alan Paylaşımı) adı verilen bir uyum ölçütü gerçekleştirilmiştir. Bu bildiriye ağırlıklı olarak COMIAS incelenmektedir.

### 2. Yapısal Uyum Ölçütleri

Uyum, bir parçanın sorumluluklarının birbirleri ile uyumlu olma oranı olarak tanımlanabilir. Parçanın tanımı ise kullanılan yazılım geliştirme yaklaşımı ve sisteme hangi düzeyde bakıldığına göre değişiklik gösterir. Bu bildiriye incelenmekte olan COMIAS, NYP yaklaşımı için tasarlanmış bir sınıf düzeyi uyum ölçütüdür.

Yazılım uyum ölçütlerinin kullanım amaçlarına şu örnekler verilebilir:

- Yazılım kalitesinin değerlendirilmesi [9] [10]
- Yazılım kalitesinin ve hata eğilimliliğinin tahmini [11] [12]
- Yazılım modülerleştirilmesi [13] [14]
- Tekrar kullanılabilir olan bileşenlerin belirlenmesi [15] [16]

Uyum ölçütü önerileri, ölçütün hesaplanması için kullanılan yaklaşımlara göre şu şekilde gruplanabilir:

- Yapısal uyum ölçütleri
- Semantik uyum ölçütleri [17]
- Entropi tabanlı uyum ölçütleri [18]
- Dilim tabanlı ölçütler [19]
- Veri madenciliğine dayalı ölçütler [20]
- Bilgi tabanlı sistemler [21] ve dağıtık sistemler [22] gibi özelleştirilmiş yazılım uygulamaları için ölçütler

COMIAS yapısal yaklaşım kullanılarak gerçekleştirilmiş bir uyum ölçütüdür. Yapısal uyum ölçütleri temel olarak sınıfın üye alanlarının üye metotlar tarafından kullanımını göz önüne almaktadır. Sınıfın metotları arasındaki ilişkiler bu düşünce ile tanımlanır. Literatürde bulunan yapısal uyum ölçütlerinin kimi üye alan kullanımını (LCOM\* [23], Coh [24], RCI [25], CC(X) [26], OL<sub>n</sub> [27], DC<sub>D</sub>, DC<sub>I</sub>, LCC<sub>D</sub>, LCC<sub>I</sub> [28]), kimi üye alan paylaşımını (LCOM1 [29], LCOM2 [30], LCOM3 [31],

LCOM4 [31], Co [31], TCC [32], LCC [32], CBMC [33], ICBMC [27], CCM [34], ECCM [34], OCC [35], PCC [35], ClassCoh [36], WTCoh [36], kimi üye metodların çağırımı (LCOM4 [31], Co [31], ICH [24], CBMC [33], ICBMC [27], CCM [34], ECCM [34], OCC [35], PCC [35], DC<sub>D</sub>, DC<sub>I</sub>, LCC<sub>D</sub>, LCC<sub>I</sub> [28]), kimi parametre tip kesişimini (CAMC [37], NHD [37]), kimi parametre tip kullanımını (RCI [25]) kimi de bunlardan bazılarının bileşimini esas almıştır. Bu düşünce yapısı, Bunge'nin benzerlik tanımına dayanır [4]. Bunge iki varlığın benzerliğini, bu iki varlığın özelliklerinin kesişimi olarak tanımlar. Bir sınıfın metodlarının benzerlik derecesi ise, yapısal uyum ölçütlerinin hesaplanmasının temelini oluşturur.

Literatürde Bunge'nin benzerlik tanımından yola çıkarak önerilen LCOM [30], LCOM\* [23] gibi birçok ölçüt bulunmaktadır.

### 3. Gerçeklenen Ölçüt: COMIAS

COMIAS uyum ölçütü gerçekleştirirken aşağıdaki hususlar dikkate alınmıştır:

- Bir sınıf üye alanlar ve üye metodlardan oluşur. Bu iki önemli elemandan birisinin ölçüt tanımında göz ardı edilmesinin, gerçek uyumun yakalanamamasına neden olacağı düşünülmektedir.
- Bir ölçütün normalize edilmiş olması, bir başka deyişle 0 ile 1 arasında değişen bir değer üretmesi tercih edilir. Normalize edilmiş ölçütlerin yorumlanması daha kolay olacaktır. Buna rağmen literatürde normalize olmayan birçok ölçüt bulunmaktadır.
- Çoğu ölçüt tanımında dolaylı metod ilişkileri göz önüne alınmamıştır. Dolaylı bağlantılar göz ardı edildiğinde gerçek uyumun yakalanamayacağı düşünülmektedir.
- İyi tanımlanmış bir ölçüt mutlaka sezgilerle paralel sonuçlar vermeli, matematiksel olarak belirsiz ve tanımsız sonuçlar vermemelidir.

Bir sınıfın uyumu COMIAS ölçütü kullanılarak hesaplanırken üç temel adım yürütülmektedir. Birinci adımda üye metodların arasındaki ilişki metod çağırımı yönünden incelenmekte ve ilk grafik ( $G_{xA}$ ) elde edilmektedir. İkinci adımda ise üye metodlar, üye alanların kullanımı yönünden incelenmekte ve ikinci grafik ( $G_{xB}$ ) elde edilmektedir. Üçüncü adımda ise ilk iki adımda elde edilen grafikler tek bir grafikte ( $G_x$ ) birleştirilmektedir. Bu bölümün geri kalanında söz konusu üç adım ayrıntılı olarak incelenecektir.

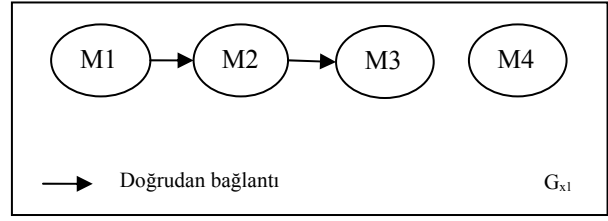
#### 3.1. Metod Çağrılarının İncelenmesi

Metod çağrılarının incelenirken, ilk olarak metodlar arasındaki doğrudan bağlantı ilişkileri incelenir. Eğer bir metod diğerini çağırıyorsa o zaman aralarında çağırılan taraftan çağırılan tarafa doğru yönlü bir çizgi oluşturulur. Oluşturulan grafik  $G_{x1}$  aşağıdaki şekilde ifade edilebilir:

Yönlü bir grafik  $G_{x1}(V, E)$  ve  $V = M_x$  ise

$$E = \{ \langle m, n \rangle \in V \times V \mid (m \text{ calls } n) \} \quad (1)$$

Örnek bir  $G_{x1}$  grafiği Şekil 1'de görülebilir.



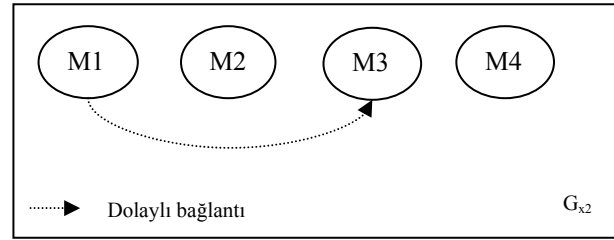
Şekil 1. Örnek bir doğrudan bağlantı grafiği ( $G_{x1}$ )

Dolaylı bağlantıları bulabilmek için ise  $G_{x1}$  grafiğindeki yönlü çizgilerden yararlanılır. Şekil 1 incelendiğinde M1 metodunun M2 metodunu çağırıldığı, M2 metodunun da M3 metodunu çağırıldığı görülebilir. Dolayısıyla, M1 metodu dolaylı yoldan M3 metodunu çağırılmaktadır. M1 metodundan M3 metoduna doğru yönlü bir çizgi oluşturulur. Bu şekilde oluşturulan dolaylı bağlantı grafiği olan  $G_{x2}$  aşağıdaki gibi ifade edilebilir:

Yönlü bir grafik  $G_{x2}(V, E)$  ve  $V = M_x$  ise

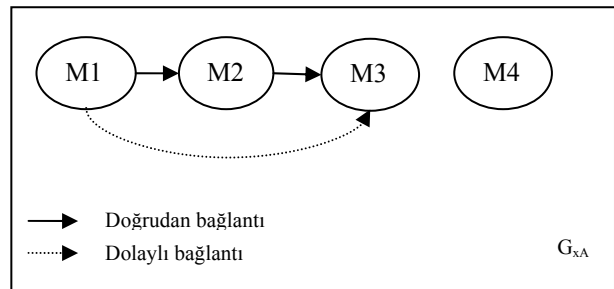
$$E = \left\{ \langle m, l \rangle \in V \times V \mid \left( \langle m, n \rangle \in G_{x1} \right) \wedge \left( \langle n, l \rangle \in G_{x1} \right) \right\} \quad (2)$$

Örnek  $G_{x1}$  grafiğinden elde edilen  $G_{x2}$  grafiği Şekil 2'de görülebilir.



Şekil 2. Örnek bir dolaylı bağlantı grafiği ( $G_{x2}$ )

Metod çağrılarının incelenmesinin son adımı olarak, önceki adımlarda elde edilmiş olan  $G_{x1}$  ve  $G_{x2}$  grafikleri tek bir grafikte  $G_{xA}$  grafiğinde birleştirilerek, doğrudan ve dolaylı yoldan bağlantılı olan tüm metodlar gösterilmiş olunur. Örnek  $G_{x1}$  ve  $G_{x2}$  grafiklerinden elde edilen  $G_{xA}$  grafiği Şekil 3'te görülebilir.

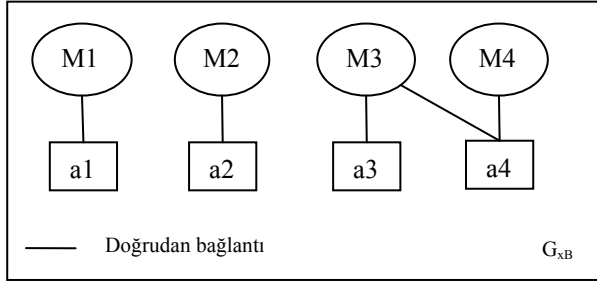


Şekil 3. Örnek bir metod çağırımı grafiği ( $G_{xA}$ )

#### 3.2. Üye Alan Kullanımlarının İncelenmesi

Üye alanların üye metodlar içerisinde kullanımını görebilmek için metod-alan ilişkisini gösteren bir grafik çizilir. Eğer bir metod bir alanı kullanıyorsa o zaman metod ve

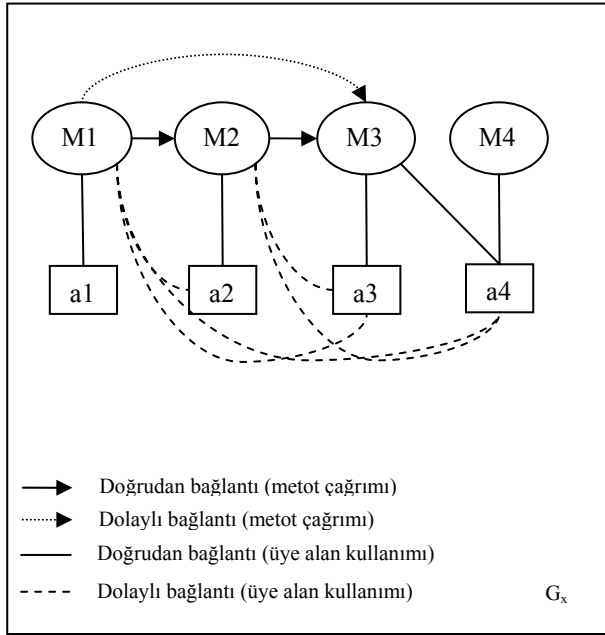
alan arasında bir çizgi oluşturulur. Şekil 4'te bu şekilde elde edilen örnek bir  $G_{XB}$  grafiği görülebilir.



Şekil 4. Örnek bir doğrudan üye alan kullanımı grafiği ( $G_{XB}$ )

### 3.3. Metod Çağırımı ve Üye Alan Kullanımı

Önceki adımlarda oluşturulan  $G_{XA}$  ve  $G_{XB}$  grafikleri bu adımda tek bir grafikte birleştirilerek  $G_X$  grafiği elde edilir. Dolaylı metod çağırılarının incelenmesi ve dolaylı üye alan kullanımlarının tespit edilmesi ile  $G_X$  grafiğinin son hali elde edilir. Önceki bölümlerde verilen örnek grafikler kullanılarak elde edilen bir  $G_X$  grafiği Şekil 5'te görülebilir.



Şekil 5. Örnek bir nihai ilişki grafiği ( $G_X$ )

### 3.4. COMIAS Uyum Ölçütünün Tanımlanması

$X$  bir sınıf,  $I_X = X$  sınıfının üye alanlarının kümesi ve  $M_X = X$  sınıfının metodlarının kümesi olsun. Yönlü bir grafik  $G_X(V, E)$  göz önüne alındığında, iki metod arasındaki metod çağırımı ilişkisi şu şekilde tanımlanacaktır:

$$Metod\_cag(M_i, M_k) = \begin{cases} 1, & \text{eğer } \langle M_i, M_k \rangle \in G_X \\ & \text{ya da } \langle M_k, M_i \rangle \in G_X \\ 0, & \text{diğer türlü} \end{cases} \quad (3)$$

İki metod arasındaki üye alan paylaşımı ilişkisi,  $G_X$  grafiğine bakılarak şu şekilde bulunur:

$$Attr\_pay(M_i, M_k) = n \begin{cases} M_i \text{ ve } M_k \text{ metodlarının} \\ \text{paylaştıkları attribute sayısı} \end{cases} \quad (4)$$

İki metod arasındaki ilişki, metod çağırımı ve üye alan paylaşımının toplamı olarak şu şekilde tanımlanır:

İlişki( $M_i, M_k$ ) =  $M_i$  metodu ile  $M_k$  metodu arasındaki ilişki değeri,  $M_i \in M_X$  ve  $M_k \in M_X$ ,  $i \neq k$  olarak tanımlansın. Bu durumda;

İlişki( $M_i, M_k$ ) = Metod\_cag( $M_i, M_k$ ) + Attr\_pay( $M_i, M_k$ ) olarak tanımlanır.

İki metodun ilişkisinden sınıfın toplam ilişki değeri ise şu şekilde bulunur:

$$Toplam\_İlişki(X) = \sum_{i=1}^{m-1} \sum_{k=i+1}^m [İlişki(M_i, M_k)] \quad (5)$$

$$Toplam\_İlişki(X) = \sum_{i=1}^{m-1} \sum_{k=i+1}^m [Metod\_cag(M_i, M_k) + Attr\_pay(M_i, M_k)] \quad (6)$$

İlişki( $M_i, M_k$ ) ne kadar yüksekse, iki metod arasındaki ilişki o kadar yüksek değerdedir denilir ve sınıfın toplam ilişki değeri yükselir. Sınıfın toplam ilişki değeri Toplam\_İlişki( $X$ ) ne kadar yüksekse sınıfın uyumu o kadar yükselir. Toplam ilişki değeri hesaplamasında, metod çağırımı ve üye alan paylaşımı ilişkilerinin ölçümü eşit oranda etkilediği varsayılmaktadır.

COMIAS'ın normalize bir ölçüt olması için bir sınıftaki maksimum ilişki değerini bulup bu sayıya yukarıdaki Toplam\_İlişki( $X$ ) değerini oranlamak gerekmektedir. Bir sınıftaki maksimum ilişki değeri Max\_İlişki( $X$ ), maksimum metod çağırımı ilişkisi ve maksimum üye alan paylaşımı ilişkisinin toplamı ile bulunur.

$$Max\_İlişki(X) = Max(Metod\_cag) + Max(Attr\_pay) \quad (7)$$

Bir sınıftaki maksimum metod çağırımı ilişkisi şu şekilde tanımlansın:

Max (Metod\_cag) = Her ( $M_i, M_k$ ) ilişkisinde bir çağırım vardır demektir ve bu da mümkün olan tüm ( $M_i, M_k$ ) ilişki sayısı ile bulunur:

$$M_i \in M_X \text{ ve } M_k \in M_X, i \neq k. \quad (8)$$

$X$  sınıfının  $m$  tane metodu varsa mümkün olan tüm ( $M_i, M_k$ ) ilişki sayısı  $m.(m-1)/2$  olacaktır. Her ilişkide bir çağırım olması durumu, maksimum metod çağırımı durumunu verecektir. Maksimum metod çağırımı şu şekilde ifade edilir:

$$Max(Metod\_cag) = \frac{m.(m-1)}{2} \times 1 \quad (9)$$

Tablo 1'de 4 adet metodu olan bir sınıf için bu durum örneklenerek açıklanmıştır. 4 adet metodu olan bir sınıf için tüm ilişkiler ve maksimum metod çağırımı ilişkisi bu tabloda verilmiştir; her metod çifti için aralarında bir çağırım vardır.

Tablo 1. Metotlar arasında maksimum çağrım ilişkisi örneği

	Metot çağrım durumu
(M <sub>1</sub> , M <sub>2</sub> )	1
(M <sub>1</sub> , M <sub>3</sub> )	1
(M <sub>1</sub> , M <sub>4</sub> )	1
(M <sub>2</sub> , M <sub>3</sub> )	1
(M <sub>2</sub> , M <sub>4</sub> )	1
(M <sub>3</sub> , M <sub>4</sub> )	1
Max (Metod_cag)	6 = 6 * 1

Aynı şekilde bir sınıftaki maksimum üye alan paylaşımı ilişkisi şu şekilde tanımlanır:

Max (Attr\_pay) = Her (M<sub>i</sub>, M<sub>k</sub>) ilişkisinde sınıfta bulunan tüm üye alanlar paylaşılıyor demektir:

$$M_i \in M_x \text{ ve } M_k \in M_x, i \neq k. \quad (10)$$

X sınıfının a tane üye alanı varsa, maksimum üye alan paylaşımı, üye alan sayısının mümkün olan tüm (M<sub>i</sub>, M<sub>k</sub>) ilişki sayısı  $\frac{m(m-1)}{2}$  ile çarpımı kadardır. Maksimum üye alan paylaşımı şu şekilde ifade edilir:

$$Max(Attr\_pay) = \frac{m(m-1)}{2} \times a \quad (11)$$

Tablo 2'de 4 adet metodu ve 4 adet üye alanı olan bir sınıf için maksimum üye alan paylaşımı durumu örneklenecek açıklanmıştır. Her metot çifti var olan tüm üye alanları paylaşılıyor demektir.

Tablo 2. Metotlar arasında üye alan paylaşımı ilişkisi örneği

	Üye alan paylaşım durumu
(M <sub>1</sub> , M <sub>2</sub> )	4
(M <sub>1</sub> , M <sub>3</sub> )	4
(M <sub>1</sub> , M <sub>4</sub> )	4
(M <sub>2</sub> , M <sub>3</sub> )	4
(M <sub>2</sub> , M <sub>4</sub> )	4
(M <sub>3</sub> , M <sub>4</sub> )	4
Max (Attr_pay) =	24 = 6 * 4

Ölçütü normalize edebilmek için gereken Max\_İlişki(X) değeri aşağıdaki gibi bulunur:

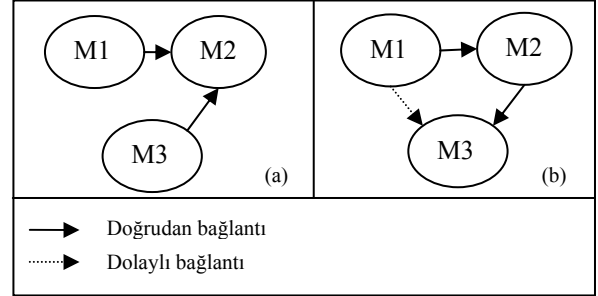
$$Max\_İlişki(X) = \left( \frac{m(m-1)}{2} \times 1 \right) + \left( \frac{m(m-1)}{2} \times a \right) \quad (12)$$

Yukarıdaki tanımlamalardan yola çıkarak, önerilen ölçüt aşağıdaki gibi formüle edilir:

$$COMIAS = \frac{Total\_İlişki(X)}{Max\_İlişki(X)} \quad (13)$$

### 3.5. COMIAS Uyum Ölçütünün Örneklenmesi

Bu bölümde Şekil 6'da verilmiş bir örnek üzerinden COMIAS ölçütünün hesaplanması gösterilecektir. Sezgisel olarak bakıldığında Şekil 6.b'de verilmiş olan grafiğin uyumunun, Şekil 6.a'da verilmiş olana göre daha iyi çıkması beklenir. M1 ile M3 arasındaki dolaylı bağlantı hesaba katılmazsa bu sonuç görülemeyecektir.



Şekil 6. Örnek bir sistemin dolaylı ilişkiler hesaplanmadan (a) ve hesaplanarak (b) elde edilen nihai ilişki grafikleri.

Dolaylı bağlantılar hesaba katılmazsa Şekil 6.a'da verilen grafik için COMIAS ölçütü şu şekilde hesaplanır:

Tablo 3. Şekil 6.a örneği için metotlar arasında üye alan paylaşımı ilişkisi

	Metot çağrımı	Üye alan paylaşımı
(M <sub>1</sub> , M <sub>2</sub> )	1	0
(M <sub>1</sub> , M <sub>3</sub> )	0	0
(M <sub>2</sub> , M <sub>3</sub> )	1	0

$$COMIAS = \frac{[(1+0) + (0+0) + (1+0)]}{\left( \frac{3 \times (3-1)}{2} \times 1 \right) + \left( \frac{3 \times (3-1)}{2} \times 0 \right)} = \frac{2}{3} \quad (14)$$

Dolaylı bağlantıların hesaba katılması ile elde edilen Şekil 6.b için ise COMIAS ölçütü aşağıdaki gibi hesaplanır:

Tablo 4. Şekil 6.b örneği için metotlar arasında üye alan paylaşımı ilişkisi

	Metot çağrımı	Üye alan paylaşımı
(M <sub>1</sub> , M <sub>2</sub> )	1	0
(M <sub>1</sub> , M <sub>3</sub> )	1	0
(M <sub>2</sub> , M <sub>3</sub> )	1	0

$$COMIAS = \frac{[(1+0) + (1+0) + (1+0)]}{\left( \frac{3 \times (3-1)}{2} \times 1 \right) + \left( \frac{3 \times (3-1)}{2} \times 0 \right)} = 1 \quad (15)$$

Bu şekilde Şekil 6'da verilen örnek sistemde dolaylı bağlantıların da dikkate alındığı takdirde uyumun daha yüksek çıktığı görülmektedir. Şekil 6.b'de olası tüm bağlantılar kurulu olduğu için uyumun da maksimum çıkması beklenir ki sonuç da bu şekilde elde edilmiştir. Bu örnek aynı zamanda sınıf

bileşenleri arasındaki etkileşim arttıkça uyumun da beklendiği gibi yükseldiğini göstermektedir.

#### 4. Önerilen Ölçütün Deneysel Geçerlemesi

COMIAS uyum ölçütünün deneysel olarak geçerlenmesi amacıyla Zemberek adı verilen açık kaynak kodlu projenin çeşitli sürümleri kullanılmıştır. Zemberek, açık kaynak kodlu Türkçe doğal dil işleme kütüphanesi ve OpenOffice eklentisidir. Zemberek'in Java'da geliştirilmiş olması, kalite açısından aralarında karşılaştırma yapılabilecek farklı sürümlerinin bulunması ve nesne tabanlı olması, bu programın seçilmesinde etkili olmuştur.

COMIAS tarafından üretilen sonuçların gerçek dünya verileriyle karşılaştırılabilmesi için kullanıcı görüşlerine başvurulmuştur. Bu amaçla Zemberek programı geliştirici grubundan olan Ahmet Afşın AKIN ile görüşülmüştür ve şu bilgiler elde edilmiştir:

- Tspell (Zemberek programının eski adı) 0.3 daha çok bir deneme sürümüdür. Sistem sadece belirli işlemleri yüksek sayılmayacak bir başarı ile yapabilmektedir.
- Zemberek 0.6.3 ve 0.6.4 arasında aslında çok fazla fark bulunmamaktadır. Çünkü asıl zıplama Zemberek 0.5 ile Zemberek 0.6 arasında gerçekleşmiştir.
- Zemberek 2.2.1 ile kod olgunluğa ulaşmıştır ve çalışmalar daha çok alt yapıda bazı düzenlemeler ile hata giderimi şeklinde olmuştur.

Bu bilgilere dayanarak, Zemberek programı için sürüm sayıları arttıkça genel olarak programın kalitesinin arttığı söylenebilir. COMIAS ölçütünün de bu görüşe paralel sonuçlar vermesi beklenmektedir. Nitekim Tablo 5'de verilen ölçüm sonuçlarının beklentileri karşıladığı görülebilir.

Tablo 5. Zemberek programının ilerleyen sürümleri için COMIAS ölçütü ile elde edilen sonuçlar

Sürüm	0.3	0.6.3	0.6.4	2.2.1
Ölçüm	0,133	0,303	0,310	0,337

#### 5. Sonuçlar

Günümüz insanının çevresinde gelişen ve gittikçe artan yazılım sistemlerinde ortaya çıkabilecek bir yazılım hatası, insan hayatının yok oluşu, mali kayıp veya zaman gecikmesi gibi kötü sonuçlar doğurabilecek güce sahiptir. Bu nedenle, bugünün yazılım sistemleri hatasız ve tutarlı çalışabilen sistemler olarak çalışabilmek zorundadırlar. Artan yazılım kalitesi talebi, "kalite" karakteristiğini ürünler arasında önemli bir ayırıcı faktör olarak karşımıza çıkarmaktadır.

Yazılım uyumu, yazılımın içsel kalite özellikleri arasında bağlaşım ile birlikte önemli bir yere sahiptir ve bir modülün elemanlarının birbirine aitliğinin derecesi olarak tanımlanabilir. İyi tasarlanmış bir sistemde uyumun yüksek ve bağlaşımın düşük olması beklenir. Uyum eksikliği, sınıfların iki veya daha fazla alt sınıfa ayrılmaları gerekliliğini gösterir. Düşük uyum karmaşıklığı artırarak geliştirme sürecindeki hataların olma olasılığını artırır. Literatürde önerilen uyum ölçütlerinden hiçbiri bir standart olarak yaygın kabul görmemiştir [38]. Bu duruma yol açan etkenlerden biri

de önerilen ölçütler ile ilgili daha fazla deneysel gerçekleştirilmesine gereksinim duyulmasıdır [6].

COMIAS ölçütü, normalize oluşu, dolaylı ilişkileri de göz önünde bulundurma ve sezgilerle paralel sonuçlar vermesi özellikleri ile ümit vericidir. Ancak COMIAS ölçütü kalıtım ile aktarılan metotları dikkate almamaktadır. Bu nedenlerle COMIAS ölçütünün deneysel geçerlenmesi için çalışmaların sürdürülmesi ve kalıtım ilişkisinin de dikkate alındığı yeni bir uyum ölçütü üzerinde çalışılması planlanmaktadır. Ayrıca, ölçüt tanımında metot çağırımı ve üye alan paylaşımı ilişkilerinin ölçümü eşit oranda etkilediği varsayılmaktadır. Bu etkilerin en uygun oranını belirlemek üzere yeni bir çalışma da yapılabilir.

#### 6. Kaynakça

- [1] Kitchenham, B. and Pfleeger, S.L., "Software Quality: the Elusive Target", *IEEE Software*, vol. 13, no. 1, pp. 12-21, January 1996.
- [2] Baldassari, B., Robach, C. and du Bosquet, L., "Early metrics for Object Oriented Designs", *IEEE*
- [3] Stevens, W., Myers, G., and Constantine, L., "Structured Design," *IBM Systems J.*, vol. 13, no. 2, pp. 115-139, 1974.
- [4] Bunge, M., *Treatise on Basic Philosophy: Ontology I : The Furniture of the World*. Boston: Riedel, 1977.
- [5] Lieberherr, K., Holland, I., and Riel, A., "Object oriented programming: An objective sense of style," in *Third Annu. ACM Conf: Object Oriented Prog. Syst., Lung. and Applicat. (OOPSLA)*, 1988, pp. 323-334.
- [6] Briand, L. C., Daly, J. W., and Wüst, J. K., "A Unified Framework for Coupling Measurement in Object-Oriented Systems." *IEEE Transactions on Software Engineering*, vol. 25, no. 1, January/February 1999.
- [7] Kriz, J., *Facts and Artifacts in Social Science: An Epistemological and Methodological Analysis of Empirical Social Science Techniques*. McGraw Hill, 1988.
- [8] Ebert, C., Dumke, R., "Software Measurement: Establish - Extract - Evaluate - Execute", Springer, 2007.
- [9] Bansiya, J. and Davis, C. G., "A hierarchical model for object-oriented design quality assessment", *IEEE Transactions on Software Engineering*, vol. 28, no. 1, January 2002, pp. 4-17.
- [10] Briand, L. C., Wüst, J., Daly, J. W., and Porter, V. D., "Exploring the relationship between design measures and software quality in object-oriented systems", *Journal of Systems and Software*, vol. 51, no. 3, May 2000, pp. 245-273.
- [11] El-Emam, K., "Object-Oriented Metrics: A Review of Theory and Practice", in *Advances in software engineering*, Springer-Verlag, New York, 2002, pp. 23-50.
- [12] Quah, T.-S. and Thwin, M. M. T., "Application of neural networks for software quality prediction using object-oriented metrics", in *Proceedings of International Conference on Software Maintenance*, September 22-26 2003, pp. 116-125.
- [13] Brito e Abreu, F. and Goulao, M., "Coupling and cohesion as modularization drivers: are we being overpersuaded?" in *Proceedings of 5th European*

- Conference on Software Maintenance and Reengineering*, 2001, pp. 47-57.
- [14] Maletic, J. I. and Marcus, A., "Supporting Program Comprehension Using Semantic and Structural Information", in *Proceedings of 23rd International Conference on Software Engineering, Toronto, Canada*, May 12-19 2001, pp. 103-112.
- [15] Etzkorn, L. H. and Davis, C. G., "Automatically Identifying Reusable OO Legacy Code", *IEEE Computer*, vol. 30, no. 10, October 1997, pp. 66-72.
- [16] Lee, J. K., Jung, S. J., Kim, S. D., Jang, W. H., and Ham, D. H., "Component identification method with coupling and cohesion", in *Proc. of 8th Asia-Pacific Software Engineering Conference (APSEC'01)*, Dec. 2001, pp. 79-86.
- [17] Etzkorn L., Delugach H., "Towards a Semantic Metrics Suite for Object-Oriented Design", *IEEE TOOLS (34) 2000: 71-80*.
- [18] Allen, E. B., Khoshgoftaar, T. M., and Chen, Y., "Measuring coupling and cohesion of software modules: an information-theory approach", in *Proceedings of 7th International Software Metrics Symposium (METRICS'01)*, April 4-6 2001, pp. 124-134.
- [19] Meyers, T. M. and Binkley, D., "Slice-based cohesion metrics and software intervention", in *Proceedings of 11th Working Conference on Reverse Engineering (WCRE'04)*, Nov. 8-12 2004, pp. 256-265.
- [20] Montes de Oca, C. and Carver, D. L., "Identification of data cohesive subsystems using data mining techniques", in *Proceedings of International Conference on Software Maintenance (ICSM'98)*, November 1998, pp. p. 16-23.
- [21] Kramer, S. and Kaindl, H., "Coupling and cohesion metrics for knowledge-based systems using frames and rules", *ACM Trans. on Soft. Engineering and Methodology (TOSEM)*, vol. 13, no. 3, July 2004, pp. 332-358.
- [22] Cho, E. S., Kim, C. J., Kim, D. D., and Rhew, S. Y., "Static and dynamic metrics for effective object clustering", in *Proceedings of Asia Pacific International Conference on Software Engineering, 1998*, pp. 78 - 85.
- [23] Henderson-Sellers, B. *Object-Oriented Metrics Measures of Complexity*, Prentice-Hall, 1996.
- [24] Briand, L.C., Daly, J.C. ve Wüst J. "A unified Framework for Cohesion Measurement in Object-Oriented Systems", *Empirical Software Eng.; An Int'l J.*, vol.3, no. 1, pp. 65-117, 1998.
- [25] Briand, L.C., Daly, J.C. ve Wüst J. "A unified Framework for Cohesion Measurement in Object-Oriented Systems", *Technical Report ISERN-97-05. Kaiserslautern:Germany: Fraunhofer Institute for Experimental Software Engineering, 1997*.
- [26] Bonja, C. ve Kidanmariam, E., "Metrics for Class Cohesion and Similarity between Methods", *ACM SE '06, March 10-12, 2006, Melbourne, Florida, USA*.
- [27] Zhou, Y., Xu, B., Zhao, J., and Yang, H., "ICBMC: An Improved Cohesion Measure for Classes", in *Proceedings of International Conference on Software Maintenance, October 3-6 2002*, pp. 44-53.
- [28] Badri, L. ve Badri, M. "A Proposal of a New Class Cohesion Criterion: An Empirical Study". *Journal of Object Technology*, 3(4), Apr. 2004. *Special issue: TOOLS USA 2003*.
- [29] Chidamber, S. R. ve Kemerer, C. F., "Towards a Metrics Suite for Object Oriented Design", in *Proceedings of OOPSLA'91, 1991*, pp. 197-211.
- [30] Chidamber, S. R. and Kemerer, C. F., "A Metrics Suite for Object Oriented Design", *IEEE Transactions on Software Engineering*, vol. 20, no. 6, 1994, pp. 476-493.
- [31] Hitz, M. ve Montazeri, B., "Measuring Coupling and Cohesion in Object-Oriented Systems", *Proceedings of International Symposium on Applied Corporate Computing. (Monterrey, Mexico, 1995)*.
- [32] Bieman, J. ve Kang, B-K., "Cohesion and Reuse in An Object-Oriented System", in *Proceedings of ACM Symposium on Software Reusability (SSR'95)*, April 1995, pp. 259-262.
- [33] Chae, H. S., Kwon, Y. R. ve Bae, D. H., "A Cohesion Measure for Object-Oriented Classes" *Softw. Pract. Exper.*, Vol. 30, No. 12. (2000), pp. 1405-1431.
- [34] Jarallah, A., Wasiq, M. ve Ahmed, M. A., "Principle and Metrics for Cohesion-Based Object-Oriented Component Assessment". *Confidential Draft Copy, 2001*.
- [35] Aman H., Yamasaki K., Yamada H. ve Noda M., "A Proposal of Class Cohesion Metrics Using Sizes of Cohesive Parts", *Knowledge-based Software Engineering, T. welzer et al.(Eds.)*, pp102-107, IOS Press, Sept. 2002.
- [36] Gui, G. ve Scott, P.D., "Coupling and Cohesion Measures for Evaluation of Component Reusability", *MSR '06, May 22-23, 2006, Shanghai, China*.
- [37] Counsell, S., ve Swift, S., "The Interpretation and Utility of Three Cohesion Metrics for Object-Oriented Design", *ACM Transactions on Software Engineering and Methodology*, Vol. 15, No. 2, April 2006, Pages 123-149.
- [38] Poshyvanyk D., Marcus A., The Conceptual Chesion of Classes. *21st IEEE International Conference on Software Maintenance (ICSM'05)*, 2005, pp. 133-142.